

СТОЛКНОВЕНИЯ И ПЛАЗМЕННЫЕ ВОЛНЫ В НЕИДЕАЛЬНОЙ ПЛАЗМЕ

И. В. Морозов, Г. Э. Норман ***

*Институт теплофизики экстремальных состояний
Объединенного института высоких температур Российской академии наук
125412, Москва, Россия*

Поступила в редакцию 16 апреля 2004 г.

Плазменные волны и характер столкновений частиц в равновесной двухкомпонентной неидеальной плазме, состоящей из невырожденных электронов и однократно заряженных ионов, рассмотрены на основе моделирования методом молекулярной динамики. Определены дисперсия частоты и декремента затухания ленгмюровских волн. Указан метод обобщения теории плазменных волн в идеальной плазме для расширения области применимости теории в сторону неидеальной плазмы. Определены проводимость и динамическая частота столкновений, зависящая от частоты возмущения. Рассмотрена релаксация энергии электронов и ионов в неравновесной плазме.

PACS: 52.25.Fi, 52.25.Os, 52.27.Gr, 52.35.Tc

1. ВВЕДЕНИЕ

Неидеальная плазма изучается экспериментально в ударных волнах в газах [1–3] и твердых телах [4–6], при электровзрыве проводников [7, 8] и др. Вместе с тем построение теории неидеальной плазмы наталкивается на значительные трудности, что связано, в частности, с изменением характера экранирования при переходе от идеальной к неидеальной плазме. Результаты теории идеальной плазмы получены в предположении о том, что сфера дебаевского экранирования содержит большое число частиц, а столкновения частиц являются слабыми с рассеянием на малые углы. В неидеальной плазме, напротив, экранирование происходит уже на расстояниях, сравнимых со средним межчастичным расстоянием, а дебаевская сфера формально содержит меньше одной частицы (десятие и даже сотые доли частицы). Поэтому простая экстраполяция результатов теории идеальной плазмы в область неидеальности для большинства задач приводит к неправильным результатам и существенным расхождениям с экспериментальными данными. Без построе-

ния адекватной модели столкновений в неидеальной плазме невозможно рассмотрение следующих вопросов:

- статическая и динамическая проводимость;
- область существования и декремент затухания плазменных волн;
- характер релаксационных процессов и время установления равновесия в неравновесной неидеальной плазме;
- поглощение энергии электромагнитного поля в плазме.

Особое место в этом списке занимают плазменные волны. Экстраполяция результатов теории Ландау [9] приводит к выводу о том, что ленгмюровские волны не могут распространяться в неидеальной плазме [10]. В то же время ленгмюровские и ионно-звуковые плазменные волны были обнаружены в теоретических работах [11–14] и работах по компьютерному моделированию неидеальной плазмы [15–19]; эти результаты были согласованы в [20, 21] с экспериментальными данными. Тем не менее эта точка зрения так и не стала общепризнанной. Поэтому свойства ленгмюровских волн в неидеальной плазме, в частности, их дисперсия и декремент затухания, остаются сравнительно мало исследованными.

*E-mail: bogous@orc.ru

**E-mail: henry_n@orc.ru

В связи с тем, что теория идеальной плазмы [9, 10, 22–25] развита достаточно хорошо и описывает немало эффектов, связанных с плазменными волнами, весьма желательным представляется поиск таких параметров, модификация которых позволила бы распространить эту теорию и для решения некоторого круга задач неидеальной плазмы. В настоящей работе в качестве свободного параметра рассматривается комплексная эффективная частота столкновений, значения которой определяются из моделирования методом молекулярной динамики (МД). Наличие плазменных волн в неидеальной плазме, подтвержденное результатами МД, открывает путь к применению богатого теоретического арсенала, разработанного для идеальной плазмы.

Несмотря на то что формула Ландау для релаксации энергии в двухтемпературной системе [9] выводилась в приближении слабого столкновительного затухания, она широко используется и для оценки скорости релаксации в неидеальной плазме. При этом в работах [4, 6] были выявлены существенные (на несколько порядков величины) расхождения экспериментальных данных с теорией. Кроме того, анализ экспериментов по проводимости неидеальной плазмы [20, 21] указывает на наличие неравновесности на временах, существенно больших, чем время релаксации, определенное по формулам идеальной плазмы. Поэтому в настоящей работе предпринята также попытка исследовать характер и длительность релаксационных процессов в полностью ионизованной сильно неравновесной неидеальной плазме с помощью МД.

В разд. 2 указана исследуемая область параметров, кратко описаны модель плазмы и метод моделирования. Раздел 3 посвящен определению дисперсии и декремента затухания ленгмюровских волн в неидеальной плазме. Вначале кратко рассмотрена теория идеальной плазмы, а затем показано, каким образом результаты этой теории могут быть расширены в область неидеальности. Обсуждаются границы применимости такого расширения. В разд. 4 приведен расчет проводимости и связанной с ней величины — эффективной частоты столкновений. Рассмотрен как статический случай, так и зависимость от частоты возмущающего воздействия. В разд. 5 изучается релаксация энергии в плазме из различного типа неравновесных состояний. Зависимость частот соударений от отношения масс электронов и ионов m/M при различных степенях неидеальности обсуждается в пп. 2.1, 4.3 и 5.3. Основные результаты работы суммированы в разд. 6.

2. МОДЕЛЬ ПЛАЗМЫ

2.1. Физическая модель

Выбор физической модели (modelling) неидеальной плазмы включает такие вопросы как определение области исследования, в том числе по степени ионизации, учет квантовых эффектов, выбор числа частиц в расчетной ячейке, оценка возможной зависимости результатов от M/m .

В работе исследуется двухкомпонентная невырожденная система однократно заряженных частиц — электронов и ионов с массами, соответственно m и M . Основными параметрами плазмы являются параметр неидеальности Γ , число частиц в сфере Дебая N_D , частота ω_p и период τ_e электронных плазменных колебаний, дебаевская длина r_D :

$$\Gamma = \left(\frac{4\pi n_e}{3} \right)^{1/3} \frac{e^2}{k_B T}, \quad N_D = \frac{4\pi r_D^3 n_e}{3},$$

$$\omega_p = \frac{2\pi}{\tau_e} = \sqrt{\frac{4\pi n_e e^2}{m}}, \quad r_D = \sqrt{\frac{k_B T}{4\pi n_e e^2}},$$

где n_e — концентрация электронов, e — заряд электрона, T — температура, k_B — постоянная Больцмана. Значения параметра неидеальности варьируются в пределах $0.1 < \Gamma < 4$ ($4 > N_D > 0.03$). Плазма предполагается полностью ионизованной. Это соответствует электронным концентрациям $n_e \sim (10^{17}–10^{24}) \text{ см}^{-3}$ и температурам $T \sim (10^4–10^6)$ К (рис. 1) для равновесной плазмы. Эта область на рис. 1 заштрихована; ее вертикальная граница слева указана условно, так как она смещается влево и вправо в зависимости от химического элемента. Под полностью ионизованной плазмой подразумевается плазма со степенью ионизации 10^{-1} и выше, когда столкновениями с нейтралами можно пренебречь.

Неравновесная неидеальная плазма может существовать при температурах, меньших 10^4 К, включая комнатную и ниже. Переохлажденная метастабильная неидеальная плазма рассматривалась теоретически [26, 27]; результаты, представленные в работах [28, 29], истолкованы в [27] как экспериментальное свидетельство существования такой плазмы. Ультрахолодная неидеальная плазма при температурах около 1 К стала объектом экспериментальных исследований в последние годы [30]. Результаты, полученные в настоящей работе, можно применять и к неравновесной неидеальной плазме при низких температурах.

В работе исследуется невырожденная плазма, однако учет квантовых эффектов в парном взаимодействии зарядов необходим, поскольку только

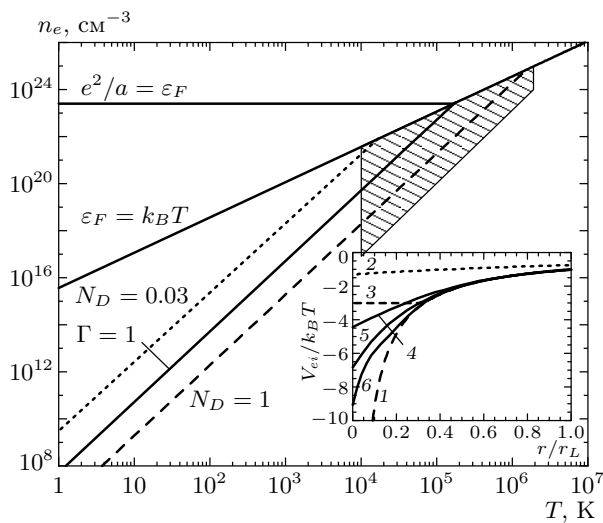


Рис. 1. Диаграмма температура–концентрация для электронов. Область между кривыми $N_D = 1$ и $\epsilon_F = k_B T$ соответствует невырожденной неидеальной плазме, между $\epsilon_F = k_B T$ и $e^2/a = \epsilon_F$ — вырожденной неидеальной плазме (ϵ_F — энергия Ферми, $a = (4\pi n_e/3)^{1/3}$ — среднее межчастичное расстояние). Область, исследуемая в настоящей работе, заштрихована. На вставке показаны потенциалы электрон-ионного взаимодействия: 1 — кулоновский, 2 — Дойча [35, 36], 3 — модель [33], 4, 5, 6 — Кельбга [34]: $T = 10^5$ К (4), $3 \cdot 10^4$ К (5), $T = 10^4$ (6); длина Ландау $r_L = e^2/k_B T$

они обеспечивают устойчивость неидеальной плазмы. Принципиальная роль ферми-статистики для предотвращения коллапса кулоновской системы показана в работе [31], однако для термодинамической устойчивости неидеальной невырожденной плазмы достаточно и парных квантовых эффектов [32]. Для их учета используется псевдопотенциальный подход [33]. Квантовые эффекты в рассеянии приводят к эффективному ослаблению отталкивания электронов друг от друга и ослаблению притяжения электронов к ионам.

Мы исследуем подсистему свободных зарядов, поэтому в модели плазмы необходимо исключить возможность образования связанных состояний. Для этого применяется дополнительное уменьшение глубины электрон-ионного псевдопотенциала на малых расстояниях [33]. В работе используется квазиклассический псевдопотенциал Кельбга [34]. На вставке рис. 1 показаны различные типы потенциалов электрон-ионного взаимодействия $V_{ei}(r)$, используемые для моделирования неидеальной плазмы. Электрон-электронное взаимодействие

$V_{ee}(r)$, соответствующее кривой 3, совпадает с кулоновским, а остальные потенциалы имеют более мягкий отталкивающий потенциал $V_{ee}(r)$.

Преимущество потенциала Кельбга по сравнению с усеченным потенциалом [33] и высокотемпературным потенциалом Дойча [35, 36] состоит в том, что его значение и первая производная в нуле совпадают с аналитическим решением двухчастичной квантовомеханической задачи рассеяния. В то же время, в рассматриваемой области параметров удельный объем связанных состояний остается относительно малым [33], поэтому вид потенциала на малых расстояниях не играет существенной роли. В приведенных ниже расчетах использовался потенциал Кельбга (кривая 5, рис. 1) ($T = 30000$ К). Чем ниже T , тем хуже работает данное приближение. Для ультрахолодной плазмы требуются дополнительные расчеты с другими псевдопотенциалами.

С физической точки зрения число частиц N в расчетной ячейке должно быть таким, чтобы размер этой ячейки был много больше r_D в идеальной плазме или много больше радиуса дальнего порядка (экранирования) в сильнонеидеальной плазме. Число частиц $N \approx 100$ оказывается достаточным при $\Gamma \gtrsim 1$ для расчета как термодинамики равновесной плазмы, так и электрон-ионной релаксации в неравновесной плазме (см. [37]). Для исследования дисперсии плазменных волн минимальное значение N определяется волновым вектором k . Поэтому для проверки целесообразно проведение расчетов с различными N при одном и том же k .

Переходя к выбору массы ионов, отметим, что чем больше масса ионов, тем длиннее расчет, поскольку шаг численного интегрирования определяется движением электронов, а длительность МД-траектории — временем перемешивания ионных траекторий. Поэтому выбор максимального M определяется компьютерным быстродействием (см. п. 2.2). Чтобы не проводить расчет для каждого M , имеет смысл найти интерполяционные и экстраполяционные формулы.

Исходя из элементарных формул механики для соударений частиц с разными массами, можно ожидать, что характеристики столкновений распадаются на две группы. В одной группе, где определяющим является электрон-электронные соударения на фоне соударений с массивными ионами, зависимость от M должна исчезать, начиная с некоторого значения M/m . Задача МД состоит в том, чтобы определить это значение. Как будет показано в п. 4.3, характеристики таких соударений выходят на константу, начиная с $M/m = 10^2$. Другая группа со-

ударений характеризует обмен энергией между электронами и ионами и должна зависеть от M/m . В идеальной плазме эта зависимость хорошо известна, задача МД — определить эту зависимость для неидеальной плазмы (разд. 5).

2.2. Численная модель

Характеристики численного моделирования (*simulation*) методом МД включают выбор схемы численного интегрирования, способ расчета сил, метод усреднения для получения нужной статистической погрешности и разнообразные способы диагностики, т. е. способы вычисления наблюдаемых величин по известным траекториям электронов и ионов.

Для решения уравнений движения применяется схема с перешагиванием (Leap-frog) второго порядка точности. Шаг интегрирования по времени выбирается таким образом, чтобы полная энергия системы сохранилась с точностью не хуже 0.1 % (более подробно о сохранении энергии см. [38]). При расчете сил, действующих на частицы, находящиеся в МД-ячейке, применяются периодические граничные условия и метод ближайшего образа.

Полное число частиц в МД-ячейке составляет $N = 128\text{--}5000$. При малых N результаты МД-моделирования для термодинамических величин и корреляционных функций имеют заметную статистическую погрешность. Увеличение N сверх физически обоснованного значения с целью повышения точности результатов приводит к росту времени расчета пропорционально N^2 , поэтому более предпочтительным представляется усреднение по ансамблю из I независимых начальных состояний. В этом случае время расчета растет пропорционально I , а точность статистического усреднения определяется величиной $(NI)^{-1/2}$.

Согласно [38] наличие небольших ошибок численного интегрирования и ляпуновского разбегания траекторий приводит к тому, что МД-траектория отклоняется от точной ньютоновской за время, называемое временем динамической памяти t_m , и, таким образом, «забывает» свое предыдущее состояние. При этом макроскопические параметры плазмы остаются постоянными. Эта естественная стохастизация МД-систем очень удобна для получения статистического ансамбля, поскольку конфигурации частиц, выбранные на одной траектории в моменты времени, отстоящие на время динамической памяти, оказываются статистически независимыми. Таким образом, одна МД-траектория длительностью

$(10^3\text{--}10^5)t_m$ может использоваться для генерации ансамбля независимых состояний.

При расчете динамики электронов на временах порядка нескольких периодов электронной плазменной частоты τ_e движением ионов можно пренебречь. Однако использование траектории с неподвижными ионами не обеспечивает усреднения по ионным конфигурациям. Поэтому в разд. 3 и 4 используется соотношение масс ионов и электронов $M/m = 100$. В этом случае движение ионов, хотя и не соответствует реальной плазме, но, как показано в п. 4.3, слабо влияет на динамику электронов на коротких временах и вместе с тем позволяет провести усреднение по ионным конфигурациям на больших временах.

В разд. 5 изучается релаксация энергии, для которой масса ионов имеет принципиальное значение. Здесь для получения ансамбля начальных состояний рассчитывается вспомогательная равновесная траектория с $M/m = 1$, из которой выбираются точки, отстоящие на время t_m . Полученные конфигурации используются для расчета релаксации с последующим усреднением, как описано в п. 5.1. Величина M/m не влияет на ансамбль равновесных конфигураций, а время расчета равновесных траекторий существенно сокращается при $M/m = 1$. При расчете же релаксации устанавливается требуемое соотношение масс с соответствующей перенормированной скоростями ионов.

Методы диагностики приводятся ниже при изложении каждой конкретной задачи.

3. ПЛАЗМЕННЫЕ ВОЛНЫ В РАВНОВЕСНОЙ ПЛАЗМЕ

3.1. Ленгмюровские волны в идеальной плазме

Напомним основные выражения для диэлектрической проницаемости идеальной плазмы [9, 22], записав их в безразмерном виде. Все временные величины мы будем нормировать на плазменную частоту ω_p : $\omega/\omega_p \rightarrow \omega$, $\nu/\omega_p \rightarrow \nu$, $\sigma/\omega_p \rightarrow \sigma$, $\delta/\omega_p \rightarrow \delta$, а пространственные — на дебаевскую длину r_D : $kr_D \rightarrow k$. Решение дисперсионного уравнения

$$\varepsilon(\omega - i\delta, k) = 0 \quad (1)$$

для диэлектрической проницаемости в форме Ландау [9] дает дисперсию и декремент ленгмюровских волн в виде

$$\omega^2 = 1 + 3k^2, \quad (2)$$

$$\delta = \delta_c + \delta_L = \frac{\nu}{2} + \sqrt{\frac{\pi}{8}} \frac{1}{k^3} \exp\left(-\frac{1}{2k^2} - \frac{3}{2}\right), \quad (3)$$

где $\delta_c = \nu/2$ — декремент, обусловленный столкновительным затуханием, δ_L — затуханием Ландау.

Эффективная частота электрон-ионных столкновений ν имеет вид [9]

$$\nu_{ei} = \sqrt{3}Z\Gamma^{3/2}L_e. \quad (4)$$

Эта формула несправедлива при $\Gamma > 0.1$ из-за расходности выражения для L_e . При экстраполяции этой формулы в область неидеальности с фиксированным кулоновским логарифмом $L_e = 3.2$ [39] величина δ_c становится больше единицы при $\Gamma > 1.2$, что ограничивает область существования ленгмюровских волн. Однако такая экстраполяция выходит далеко за область применимости теории Ландау. Более точные оценки [14] указывают на то, что величина ν при увеличении Γ проходит через максимум, оставаясь при этом меньше единицы. Таким образом, можно предположить, что в неидеальной плазме ленгмюровские волны существуют, а затухание Ландау и дисперсия существенно не изменяется [14].

Выражения (2), (3) получены в длинноволновом приближении, поэтому при больших k необходимо использовать модель [22], в которой

$$\varepsilon(\omega, k) = 1 + \frac{1}{k^2} \frac{1 - J_+ \left(\frac{\omega + i\nu}{k} \right)}{1 - \frac{i\nu}{\omega + i\nu} J_+ \left(\frac{\omega + i\nu}{k} \right)}, \quad (5)$$

где

$$J_+(x) = x \exp\left(-\frac{x^2}{2}\right) \int_{i\infty}^x \exp\left(\frac{\tau^2}{2}\right) d\tau. \quad (6)$$

Решение дисперсионного уравнения (1) в этом случае определяется численно.

3.2. Динамический структурный фактор

Анализ плазменных волн в неидеальной плазме можно провести на основе расчета динамического структурного фактора (ДСФ) «заряд–заряд». Его действительная часть связана с мнимой частью диэлектрической проницаемости [23, 40]:

$$S(\omega, k) = -\frac{k_B T}{4\pi^2 e^2} \frac{k^2}{\omega} \operatorname{Im} \frac{1}{\varepsilon(\omega, k)}. \quad (7)$$

В настоящей работе ДСФ определялся из МД-моделирования. Вначале с использованием

равновесной МД-траектории рассчитываются автокорреляционные функции плотности для электронов и ионов,

$$F_{cd}(k, t) = \frac{1}{N_c N_d} \times \\ \times \left\langle \sum_{j=1}^{N_c} \sum_{k=1}^{N_d} \exp\{-i\mathbf{k} \cdot (\mathbf{r}_j(t) - \mathbf{r}_k(0))\} \right\rangle, \quad (8)$$

где $\mathbf{r}_j(t)$ — координата частицы j в различные моменты времени, $c, d = e, i$ — сорт частиц. Усреднение проводится по начальным конфигурациям $\mathbf{r}(0)$ и по направлениям волнового вектора \mathbf{k} в силу изотропии плазмы. Поскольку МД-ячейка является ограниченной, спектр возможных значений $k = 2\pi l/L$ дискретен, а минимальное значение $k = 2\pi/L$, где L — ребро ячейки, l — целое число. Для предельного перехода $k \rightarrow 0$ необходимо увеличивать МД-ячейку, что приводит к росту числа частиц N и увеличению времени расчета.

Искомый ДСФ находится из преобразования Фурье:

$$S(\omega, k) = \frac{1}{2\pi} \int_0^\infty F_{zz}(k, t) e^{i\omega t} dt, \quad (9)$$

$$F_{zz} = \frac{1}{2} (F_{ii} + F_{ee} - 2F_{ei}). \quad (10)$$

Результаты расчета ДСФ¹⁾ для слабонеидеальной плазмы (рис. 2) в области $\omega = \omega_p$ хорошо согласуются с теоретической кривой, полученной из выражений (5), (7).

Высокочастотная часть ДСФ допускает аппроксимацию степенной зависимостью $S(\omega, k) \sim \omega^{-9/2}$. Данная асимптотика, вообще говоря, определяется короткодействующей частью потенциала взаимодействия. Поскольку она согласуется с теоретическим расчетом для кулоновского потенциала [18], можно сделать вывод о том, что короткодействующая часть использованного в МД-потенциала Кельбга [34] не вносит существенного вклада в ДСФ.

3.3. Дисперсия частоты и декремента затухания

Данные о дисперсии и декременте затухания ленгмюровских плазменных волн можно получить

¹⁾ ДСФ приводится с точностью до нормировочного множителя, поскольку в дальнейшем нас будет интересовать только ширина и положения пика вблизи плазменной частоты.

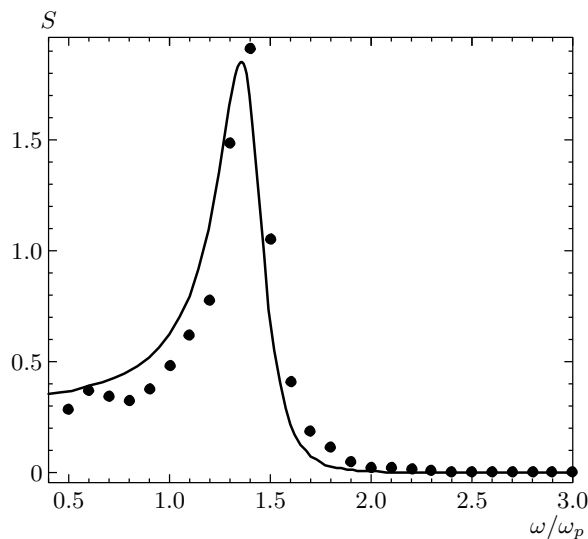


Рис. 2. Динамический структурный фактор: точки — МД-расчет, кривая — теория идеальной плазмы (5)–(7). $\Gamma = 0.26$, $N_D = 1.5$, $kr_D = 0.48$

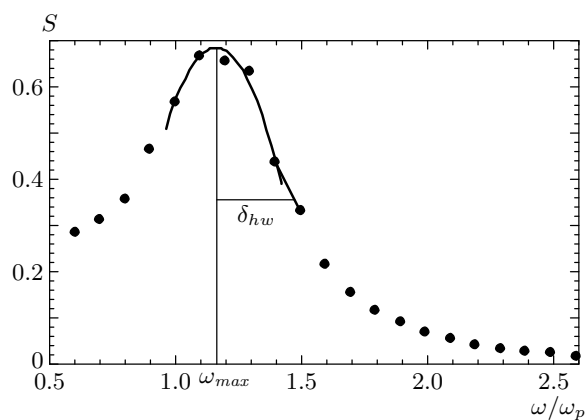


Рис. 3. Определение положения ω_{max} пика ДСФ и его полуширины δ_{hw} по результатам МД-моделирования (точки)

из анализа пика ДСФ вблизи плазменной частоты. Для этого применяется процедура, проиллюстрированная на рис. 3. Область пика аппроксимируется параболой. Погрешность определяется процедурой аппроксимации.

Полученные из интерполяции положение пика ω_{max} и его высота $S_{max} = S(\omega_{max}, k)$ (рис. 3) используются для определения полуширины δ_{hw} на полувысоте. При этом берется правая полуширина пика, поскольку слева от максимума кривая несколько искажается под влиянием ионно-звукового максимума на частоте $\Omega_i = \omega_p \sqrt{m/M} \ll \omega_p$ (не показан на гра-

фике). Для нахождения точки пересечения горизонтальной линии $S = S_{max}/2$ с МД-кривой используется дополнительная линейная интерполяция.

Заметим, что полуширина δ_{hw} максимума ДСФ, построенного по формулам (5), (7) с эффективной частотой столкновений $\nu = 2\delta$, хорошо согласуется с величиной δ в области $\delta < 0.8$. Поэтому величину δ_{hw} будем использовать для определения декремента затухания также и в неидеальной плазме.

Зависимости положения пика ДСФ ω_{max} и его полуширины δ_{hw} от волнового числа показаны на рис. 4, 5. Поскольку спектр значений k в МД-расчете дискретен и ограничен снизу для фиксированного N , проведены расчеты с различными N . Согласие расчетов для одного и того же k при различных N говорит о том, что граничные условия не влияют на результаты расчета, т. е. размеры МД-ячейки L выбраны верно по отношению к радиусу экранирования.

Характер зависимостей $\delta(k)$ и $\delta_{hw}(k)$, приведенных на рис. 4а, 5а, при больших k показывает, что затухание Ландау не претерпевает существенных изменений при переходе к неидеальной плазме. В пределе $k \rightarrow 0$ затухание Ландау стремится к нулю, и декремент затухания определяется только столкновительной частью $\delta_c = \nu/2$. Для определения эффективной частоты столкновений ν использовалась модель диэлектрической проницаемости (5), в которой величина ν рассматривалась как свободный параметр. Как видно из рисунков, при соответствующем выборе ν теоретические кривые хорошо аппроксимируют МД-данные.

Обратимся теперь к зависимости положения ω_{max} пика ДСФ от волнового числа k (рис. 4б, 5б). Дисперсия $\omega_0(k)$, найденная по формулам (5)–(7) для идеальной плазмы ($\nu = 0$), показана на рисунках штриховой линией. В бесстолкновительной плазме $\omega_0(k)$ совпадает с положением максимума ДСФ $\omega_{max}(k)$. При значениях ν , о которых сказано выше, максимум ДСФ может существенно смещаться в область меньших частот, т. е. значение $\omega_{max}(k)$ может не совпадать с нулем функции $\varepsilon(\omega_0 - i\delta, k) = 0$, определяющим дисперсию $\omega(k)$. На рис. 6 представлен пример для $\nu = 0.8$, при котором нуль функции $\varepsilon(\omega_0 - i\delta, k)$ заметно смещен в мнимую область, а так как ДСФ определен на действительной оси ω , то $\omega_{max} < \omega_0$.

Используя полученные ранее значения ν , представленные на рис. 4а, 5а, можно аналитически определить смещение пика ДСФ относительно $\omega(k)$ и построить кривые $\omega_{max}(k)$ с учетом этого эффекта. Эти кривые показаны на рис. 4б, 5б сплошны-

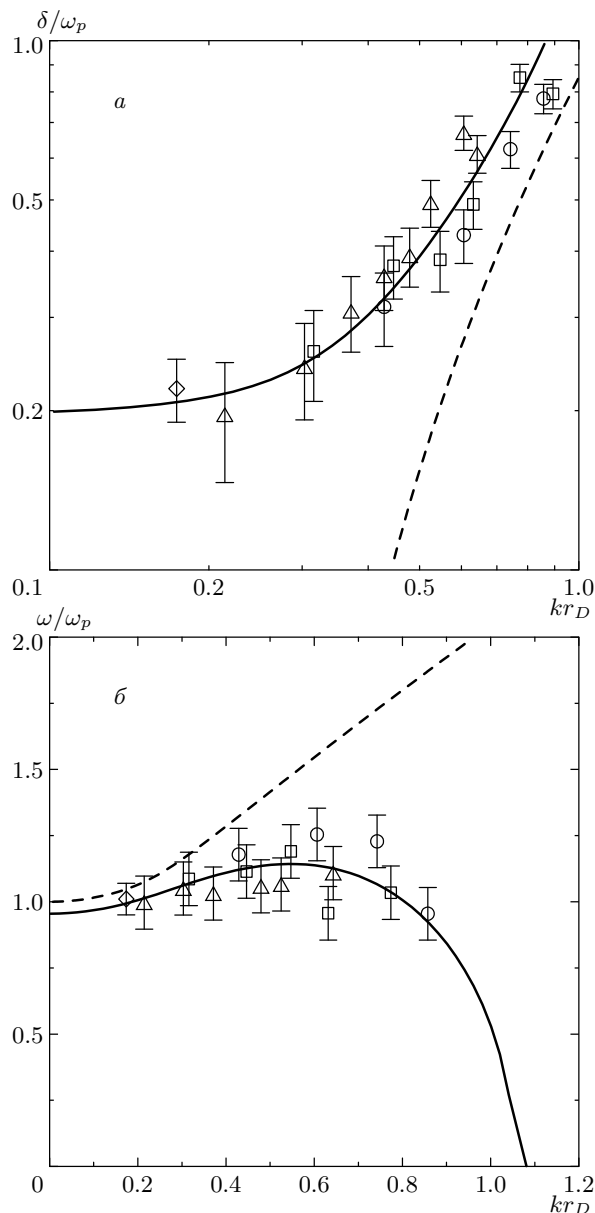


Рис. 4. Полуширина (а) и положение (б) пика ДСФ для $\Gamma = 1.28$ ($N_D = 0.13$): точки — результаты МД для различного числа частиц $N = 3000$ (ромб), 800 (треугольники), 500 (квадраты), 200 (кружки); штриховая кривая: затухание Ландау δ_L (а), дисперсия (б), найденные по формулам (5)–(7) при $\nu = 0$, сплошная кривая — полуширина (а) и положение (б) пика ДСФ при $\nu = 0.42$, полученные из выражений (5)–(7)

ми линиями. Расчеты показывают, что при $\Gamma < 3$ ($N_D > 0.04$) теоретические кривые хорошо согласуются с данными МД (рис. 4б). Это свидетельствует о том, что в неидеальной плазме дисперсия практиче-

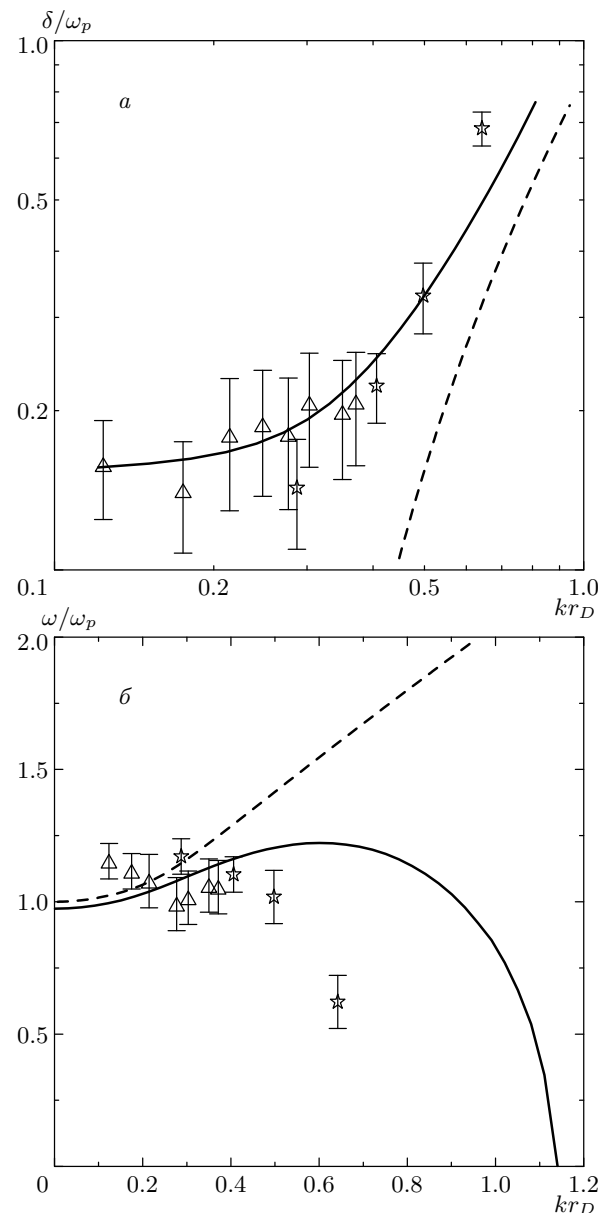


Рис. 5. Полуширина (а) и положение (б) пика ДСФ для $\Gamma = 3.84$ ($N_D = 0.026$): точки — результаты МД для $N = 800$ (треугольники), 128 (звездочки), кривые соответствуют рис. 4 (сплошная кривая — при $\nu = 0.32$)

тически совпадает с $\omega_0(k)$, а отрицательная дисперсия имеет место только для положения пика ДСФ $\omega_{max}(k)$ при относительно больших ν .

При $\Gamma = 3.84$ расчетная кривая и данные МД, представленные на рис. 5б, плохо согласуются между собой, что говорит о качественном отличии дисперсии в сильнонеидеальной плазме от результатов модели (5) при $\Gamma > 3$ ($N_D < 0.04$).

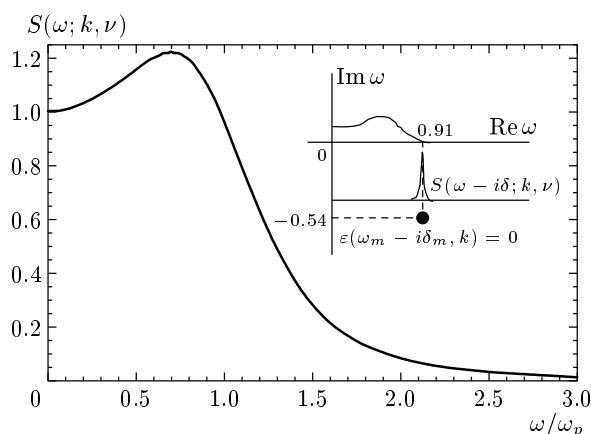


Рис. 6. Динамический структурный фактор (5)–(7) при $\nu/\omega_p = 0.8$, $k r_D = 0.2$. На вставке проиллюстрировано смещение максимума ДСФ относительно нуля диэлектрической проницаемости вследствие сильного затухания

Таким образом, результаты МД показывают, что, зная эффективную частоту столкновений ν , можно расширить область применимости хорошо известных формул теории идеальной плазмы [9, 22, 24] в область неидеальности при $\Gamma < 3$. Отметим недавнее прямое экспериментальное наблюдение плазменных волн в ультрахолодной невырожденной неидеальной плазме [30].

3.4. Коллективные степени свободы

Существование плазменных волн в идеальной плазме было использовано Бомом [41] для введения коллективных переменных или коллективных степеней свободы. Доля таких степеней свободы в идеальной плазме оказалась порядка $1/r_D$, т. е. очень малой. Оценки [14] показали, что доля коллективных степеней свободы увеличивается с ростом неидеальности и достигает насыщения около $1/3$ при $N_D \approx 1$. Подход, развитый в настоящей работе, позволяет обосновать переход к описанию неидеальной плазмы в терминах коллективных переменных. При этом потребуется определить предельное значение k для дисперсии плазменных волн, а не максимума ДСФ k_{max} , рассмотренного в настоящей работе. Смещение максимума ДСФ в область меньших частот приводит к исчезновению этого максимума при $\omega_{max}(k_{max}) = 0$ (рис. 4б, 5б). В неидеальной плазме величина k_{max} оказывается меньше максимально допустимого k , определяемого условием $\delta(k) = \omega(k)$. Таким образом, плазменные волны могут существовать при $k > k_{max}$, но использованный метод пока

не позволяет находить их частоту и декремент затухания.

С увеличением неидеальности, $\Gamma \gtrsim 2$, начинает уменьшаться как столкновительное затухание, так и область существования затухания Ландау, что согласуется с оценками работы [14]. Таким образом, при дальнейшем увеличении Γ коллективные степени свободы становятся лучше определенными. Это позволяет рассчитывать на то, что коллективные переменные окажутся хорошим подходом для построения теории неидеальной плазмы.

4. СТОЛКНОВЕНИЯ В РАВНОВЕСНОЙ ПЛАЗМЕ

В неидеальной плазме, в отличие от идеальной, эффективная частота столкновений может быть определена несколькими способами, т. е. можно говорить не об одной, а о нескольких эффективных частотах.

4.1. Столкновительное затухание ленгмюровских волн

Зависимость $\nu = 2\delta_c$ от параметра неидеальности приведена ниже на рис. 10 в п. 4.5. Точки проходят через максимум при $\Gamma \approx 2$ ($N_D \approx 0.07$), оставаясь при этом меньше плазменной частоты. Такое поведение обусловлено изменением характера столкновений. В неидеальной плазме экранирование происходит уже на среднем межчастичном расстоянии, которое уменьшается с ростом Γ при постоянной температуре. Соответственно уменьшается и эффективное сечение соударений. При $\Gamma \ll 1$ результаты МД согласуются с теорией Ландау (4).

4.2. Автокорреляционные функции

Автокорреляционные функции различных величин определяются в МД-расчетах, поскольку эти функции позволяют, используя формулы теории линейного отклика, найти свойства равновесных систем, в частности, проводимость равновесной плазмы. Зависимость проводимости от волнового числа существенна лишь в том случае, когда длина волны λ излучения, взаимодействующего с плазмой, становится сравнимой с радиусом экранирования r_D . Поскольку в большинстве экспериментальных работ $\lambda \gg r_D$, в настоящей работе мы ограничимся длинноволновым пределом $k \rightarrow 0$ и в последующих формулах не будем явно указывать зависимость от k .

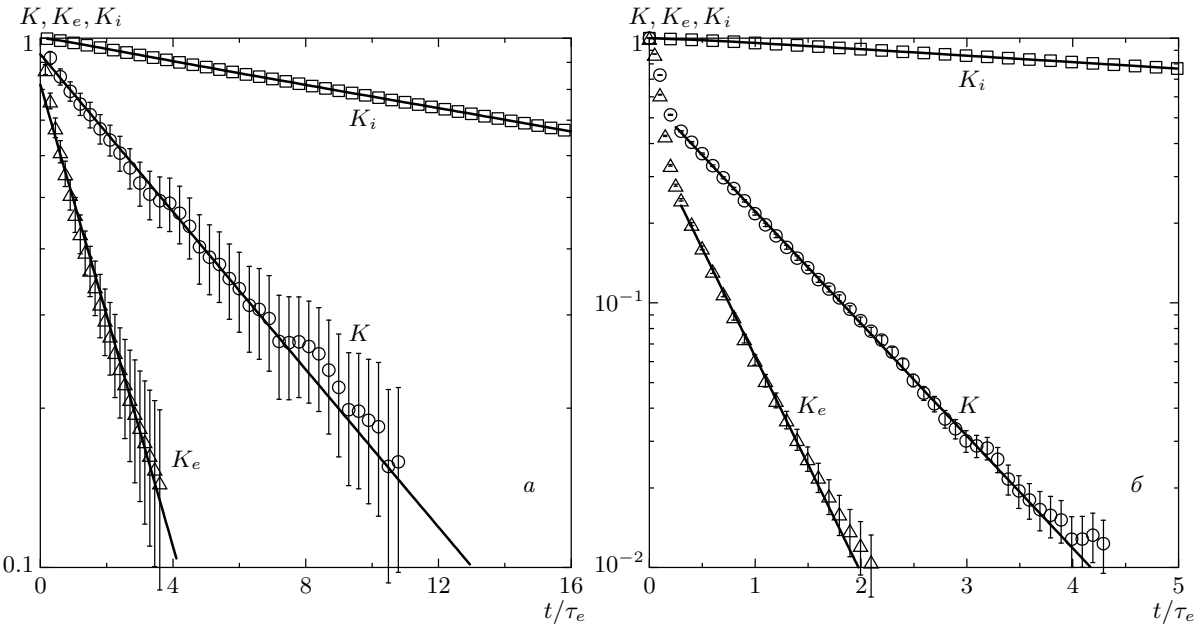


Рис. 7. Автокорреляционные функции скоростей электронов $K_e(t)$, ионов $K_i(t)$ и тока $K(t)$; $a - \Gamma = 0.13$ ($N_D = 4.2$); $b - \Gamma = 1.28$ ($N_D = 0.13$); $M/m = 100$

Рассматривая внутреннее электрическое поле плазмы как возмущение, а плотность тока частиц \mathbf{J} как отклик среды, «внутреннюю» проводимость плазмы σ можно связать с равновесными флюктуациями тока [23]:

$$\sigma(\omega) = \beta\Omega_0 \langle J^z; J^z \rangle_{\omega+i\eta}, \quad (11)$$

где Ω_0 — объем системы, $\beta = 1/k_B T$, $\langle J^z; J^z \rangle_{\omega+i\eta}$ — спектральная корреляционная функция z -компоненты тока:

$$\langle \mathbf{J}; \mathbf{J} \rangle_{\omega+i\eta} = \int_0^\infty \exp[i(\omega + i\eta)t] \langle \mathbf{J}(t)\mathbf{J}(0) \rangle dt. \quad (12)$$

Величина η требуется в теории для устранения расходимостей и устремляется к нулю после термодинамического предельного перехода. В МД-расчетах эти трудности не возникают. Для МД-системы среднюю плотность тока можно найти непосредственно из скоростей электронов и ионов:

$$\mathbf{J}(t) = \frac{1}{\Omega_0} \sum_{i=1}^N e_i \mathbf{v}_i(t). \quad (13)$$

Для удобства анализа результатов определим безразмерную корреляционную функцию и ее фурье-преобразование:

$$K(t) = \frac{\langle \mathbf{J}(t), \mathbf{J}(0) \rangle}{\langle J^2 \rangle}, \quad (14)$$

$$\begin{aligned} \tilde{K}(\omega) &= \frac{4\pi\beta\Omega_0}{\omega_p} \langle J^z; J^z \rangle_\omega = \\ &= \omega_p \int_0^\infty \exp[i(\omega)t] K(t) dt. \end{aligned} \quad (15)$$

При определении коэффициентов мы воспользовались выражением для среднеквадратичных флюктуаций тока с учетом изотропии плазмы:

$$\begin{aligned} \langle J \rangle &= \frac{e^2}{\Omega_0^2} N \langle v^2 \rangle = \frac{3\omega_p^2}{4\pi\Omega_0\beta}, \\ \langle J^z; J^z \rangle_\omega &= \frac{1}{3} \langle \mathbf{J}; \mathbf{J} \rangle_\omega. \end{aligned} \quad (16)$$

В МД-моделировании автокоррелятор $K(t)$ вычисляется из выражения (13), взятого в различные моменты времени. Усреднение проводится по $I = 2000\text{--}5000$ начальным конфигурациям, из которых не менее 200–5000 конфигураций статистически независимы. Выбор числа усреднений определяется быстродействием используемой вычислительной системы. Фурье-преобразование (15) выполняется численно. Результаты для автокоррелятора тока $K(t)$, а также для автокорреляторов скоростей электронов и ионов,

$$K_c(t) = \frac{\langle \mathbf{v}_c(t) \mathbf{v}_c(0) \rangle}{\langle \mathbf{v}_c^2 \rangle}, \quad c = e, i, \quad (17)$$

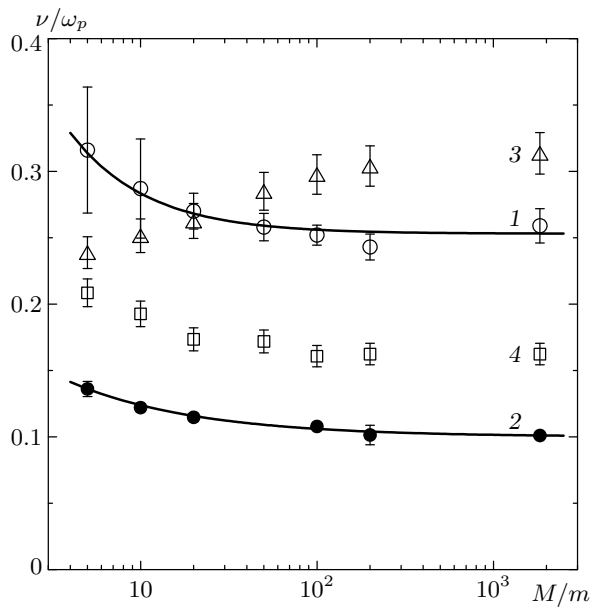


Рис. 8. Зависимости от массы ионов: эффективных частот столкновений $\nu(0)$ для $\Gamma = 1.28$, $N_D = 0.13$ (1) и $\Gamma = 3.84$, $N_D = 0.026$ (2), показатели экспоненциального затухания автокорреляторов скоростей электронов ν_e (3) и автокорреляторов токов ν_j (4) для $\Gamma = 1.28$; аппроксимация $\nu(M) = \nu(\infty)(1 + B(M/m)^{-\xi})$ — сплошные линии

представлены на рис. 7. Видно, что каждый автокоррелятор на рис. 7б имеет начальный участок длительностью $t \approx 0.2\tau_e$ и последующий экспоненциальный спад. При уменьшении степени неидеальности характер затухания $K(t)$ все больше приближается к экспоненциальному и при $\Gamma = 0.13$ уже хорошо аппроксимируется зависимостью $K(t) = \exp(-\nu_i t)$. Появление начального участка, таким образом, является эффектом неидеальности плазмы.

4.3. Зависимость от массы ионов

Зависимости показателей экспоненты для автокорреляторов скоростей электронов $K_e(t) = \exp(-\nu_e t)$ и тока $K(t) = \exp(-\nu_j t)$ от отношения масс M/m показаны на рис. 8. Показатели экспонент ν_e и ν_j практически не зависят от отношения масс, поэтому $M/m = 100$ является достаточно хорошим приближением для изучения динамики электронной компоненты в реальной плазме. Эффективная частота столкновений $\nu(0)$, о которой будет сказано ниже, также перестает зависеть от M при $M/m > 100$.

Зависимость показателя экспоненты для автоко-

рреляторов $K_i(t) = \exp(-\nu_i t)$ скоростей ионов ν_i от массы ионов, как показали расчеты, аппроксимируется степенной зависимостью $\nu_i \propto (M/m)^{-\alpha}$. Величина α может отличаться от предполагаемого значения $\alpha = 0.5$, следующего из выражения для тепловой скорости ионов $v_{T,i} \propto 1/\sqrt{M}$. Результаты МД дают значения $\alpha = 0.6 \pm 0.04$ для $\Gamma = 1.28$, $\alpha = 0.5 \pm 0.04$ для $\Gamma = 3.84$.

4.4. Проводимость

Перейдем теперь к результатам для статической проводимости неидеальной плазмы. Эта область является достаточно хорошо изученной как теоретически [12, 16, 20, 42–46], так и экспериментально (см., например, обзоры в работах [12, 21, 39]). Однако здесь существуют некоторые трудности. В работах [20, 42] проанализирован большой объем экспериментальных данных по проводимости для различных веществ, плотностей и температур. Выделена кулоновская часть проводимости, которая представлена на рис. 9 в зависимости от параметра неидеальности

$$\gamma = \frac{e^2(n_e + n_i)^{1/3}}{k_B T} \approx \frac{\Gamma}{1.28}.$$

Кривые 1 и 3, рассчитанные по формулам идеальной плазмы, оказались выше всего массива экспериментальных данных. Оценка проводимости для равновесной плазмы, выполненная в работах [12, 43], показана на рис. 9 кривой 4.

Как видно на рисунке, в результатах различных экспериментов (закрашенные точки) наблюдается большой разброс, в то время как любая теория для равновесной плазмы дает однозначную зависимость $\sigma(\gamma)$. В работе [44] сделано предположение о том, что в неидеальной плазме существенную роль может играть рассеяние электронов на коллективных модах, причем в лабораторной плазме эти моды могут быть возбуждены до надтеплового уровня. В этом случае проводимость неравновесной неидеальной плазмы должна оказаться меньше проводимости равновесной плазмы. Практически весь массив экспериментальных данных оказался ниже кривой 4, что свидетельствует о той или иной степени неравновесности в экспериментах. Горизонталь 5 соответствует максимальному уровню возбуждения плазменных волн [43]. В этой области лежат, например, данные экспериментов [47].

Результаты настоящей работы показаны на рис. 9 незакрашенными треугольниками. Проводимость определялась по формуле (11) из автокорреляторов тока (13). Как видно из рисунка, эти

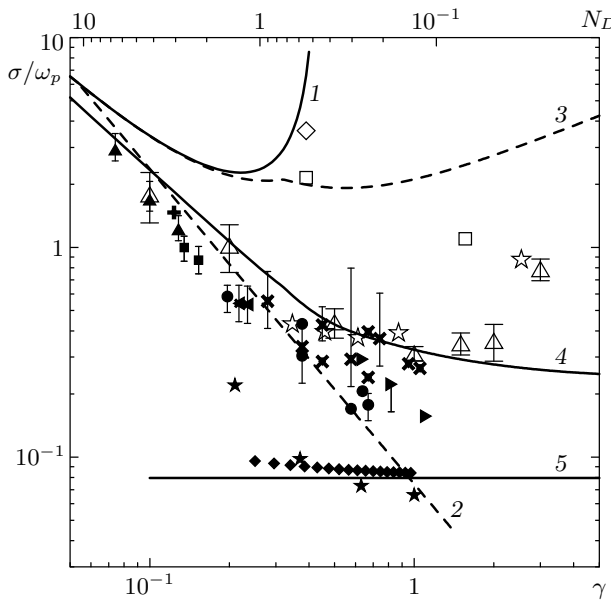


Рис. 9. Статическая проводимость в зависимости от параметра неидеальности $\gamma = e^2(n_e + n_i)^{1/3}/k_B T \approx \Gamma/1.28$. Закрашенные точки — данные различных экспериментов (в том числе ромбы — [47]); незакрашенные точки — результаты МД: треугольники — настоящая работа, ромб и квадраты — [16], звездочки — данные аналитических расчетов [48]. Теоретические кривые: 1 — формула Ландау, 2 — то же при $L_e = 3$, 3 — то же при $L_e = \sqrt{\Lambda^2 + 1}/2$, $\Lambda = r_D/r_L$ [14], 4 — расчет [43], 5 — $\sigma = \omega_p/4\pi$

результаты хорошо согласуются с оценками [12, 43] (кривая 4) при $\gamma < 2$ ($\Gamma < 2.5$, $N_D > 0.03$). Таким образом, теория [43] и результаты МД, полученные в настоящей работе, взаимно подтверждают друг друга. Хорошее согласие получено также с результатами независимых расчетов [48], выполненных в рамках жидкокометаллической модели.

4.5. Эффективная частота столкновений

Определением для эффективной частоты столкновений $\nu(\omega)$ служит обобщенная формула Друде для проводимости σ или соответствующее выражение для диэлектрической проницаемости ε :

$$\sigma(\omega) = \frac{\omega_p^2}{4\pi} \frac{1}{\nu(\omega) - i\omega}, \quad (18)$$

$$\varepsilon(\omega) = 1 + \frac{4\pi i\sigma(\omega)}{\omega} = 1 - \frac{\omega_p^2}{\omega(\omega + i\nu(\omega))}. \quad (19)$$

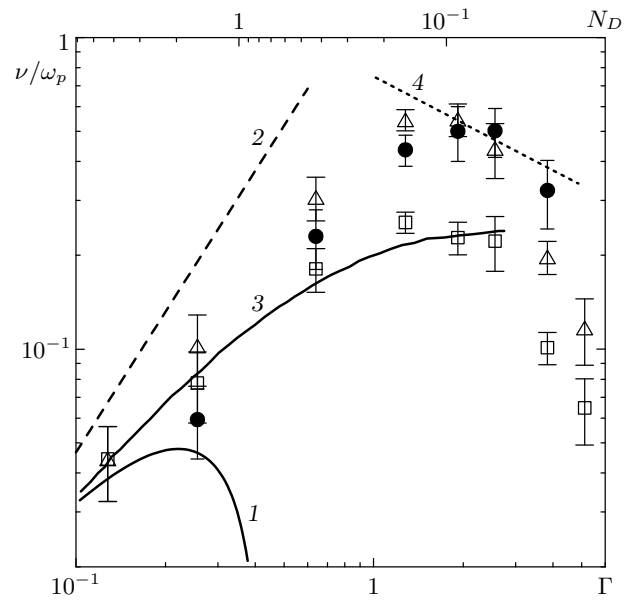


Рис. 10. Эффективная частота столкновений, полученная различными способами: квадраты — $\nu(0)$ из автокоррелятора тока на частоте $\omega = 0$, треугольники — то же при $\omega = \omega_p$, кружки — из декремента затухания ленгмюровских волн $2\delta_c$, 1 — теория идеальной плазмы, 2 — то же при $L_e = 3.2$, 3 — данные [50], 4 — асимптотика [14] для $\Gamma > 1$

Термин «частота столкновений» не следует понимать буквально, это лишь удобная характеристика столкновительных процессов в плазме. В теории идеальной плазмы ν имеет вид (4) и не зависит от частоты возмущения. Такое приближение, как показано ниже, оказывается неверным в случае неидеальной плазмы. Однако, если взять в качестве $\nu(\omega)$ комплексную величину, зависящую от частоты возмущающего поля ω [11, 49], то формулы (18), (19) будут выражать лишь алгебраическую связь $\nu(\omega)$ с $\sigma(\omega)$ и $\varepsilon(\omega)$, не накладывая никаких ограничений, связанных с теорией Друде.

Рассмотрим сначала статический предел. На нулевой частоте величина $\nu(0)$ обратно пропорциональна интегралу (15). Для идеальной плазмы она совпадает с показателем экспоненциального затухания автокоррелятора тока ν_j , а для неидеальной оказывается несколько больше ν_j из-за неэкспоненциального участка затухания в начале зависимости $K(t)$.

Зависимость $\nu(0)$ от параметра неидеальности приведена на рис. 10 в сравнении с теорией Ландау [9]. При слабой степени неидеальности результаты МД хорошо согласуются с формулами для иде-

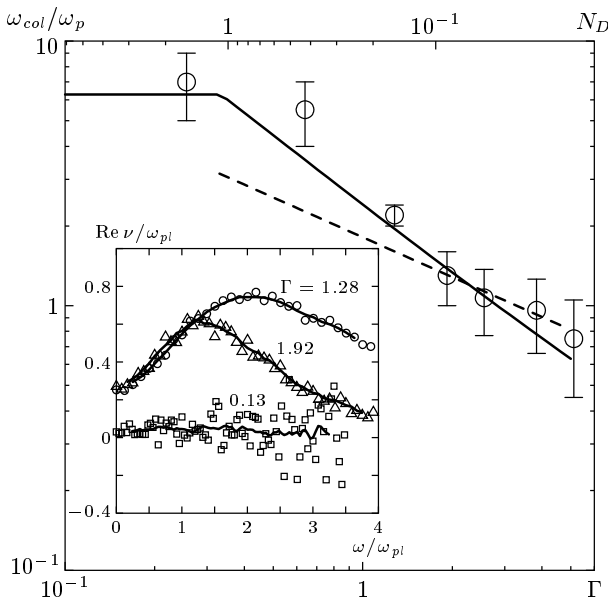


Рис. 11. Смещение максимума $\text{Re } \nu(\omega)$ в область низких частот при увеличении неидеальности плазмы. Точки — положения максимума $\text{Re } \nu(\omega)$ по результатам МД; качественные оценки ω_{col} , соответствующие оценкам времен столкновения (20) — штриховая линия, (22) — сплошная линия. На вставке: зависимости действительной части эффективной частоты столкновений ν от частоты возмущения при различной степени неидеальности. Сплошные кривые получены усреднением МД-данных (точек)

альной плазмы, однако экстраполяция этих формул в область неидеальности даже с фиксированным кулоновским логарифмом существенно завышает эффективную частоту столкновений. Наличие максимума и дальнейшего уменьшения $\nu(\Gamma)$ коррелирует с асимптотикой, приведенной в работе [14]. Слишком резкое уменьшение $\nu(\Gamma)$ может быть связано с погрешностями псевдопотенциальной модели, проявляющимися при больших плотностях. Результаты МД для $\nu(0)$ хорошо согласуются с независимыми расчетами [50] при $\Gamma < 3$.

Действительная часть динамической частоты столкновений ν представлена на вставке рис. 11 в зависимости от частоты возмущения. В идеальной плазме зависимость $\nu(\omega)$ практически отсутствует. Это видно также на рис. 10, где отличие динамической частоты столкновений, взятой на плазменной частоте $\nu(\omega_p)$, от статической $\nu(0)$ увеличивается с ростом Γ . Амплитуда максимума $\nu(\omega)$ связана с $\nu(0)$, поэтому вначале она увеличивается с ростом Γ , а затем начинает убывать.

Значения $\nu(\omega_p)$ хорошо согласуются со значениями $\nu = 2\delta_c$, где δ_c — декремент столкновительного затухания ленгмюровских волн (см. п. 4.1), что говорит о самосогласованности расчетной модели.

4.6. Зависимость $\nu(\omega)$

Возвращаясь к зависимости $\nu(\omega)$, необходимо отметить, что возникновение максимума эффективной частоты столкновений имеет простой физический смысл. Положение этого максимума в зависимости от степени неидеальности представлено на рис. 11. Для качественного объяснения рассматриваемой зависимости определим время столкновения τ_{col} как время взаимодействия электрона и иона внутри сферы экранирования радиуса r_s :

$$\tau_{col} = \frac{2r_s}{v_T}, \quad (20)$$

где $v_T = \sqrt{3k_B T/m}$ — тепловая скорость электронов.

В идеальной плазме величина r_s определяется дебаевской длиной r_D . Однако при $\Gamma > 1/3$ этот параметр теряет смысл, так как становится меньше среднего межчастичного расстояния $a = \sqrt{3}\Gamma r_D$. Согласно [33] в этом случае экранирование должно происходить на среднем расстоянии a , а не на дебаевской длине r_D . Это подтверждается расчетами бинарной корреляционной функции электрон-ионного распределения, показанной на рис. 12. Бинарные корреляционные функции в данном случае рассчитывались по достаточно длинной равновесной МД-траектории $T = (200-1000)\tau_e$, на которой выбиралось $I = 5000-20000$ конфигураций частиц, с последующим усреднением.

Времени τ_{col} соответствует некоторая частота $\omega_{col} = \tau_{col}^{-1}$. Для идеальной плазмы она не играет существенной роли, ввиду того что близкие столкновения являются сравнительно редкими. При увеличении роли близких столкновений можно ожидать появления резонансного поглощения на частоте $\omega = \omega_{col}$.

Подставим радиус экранирования

$$r_s = \begin{cases} -r_D, & \Gamma < 1/3, \\ -a, & \Gamma \geq 1/3 \end{cases} \quad (21)$$

в выражение (20). Для неидеальной плазмы ($\Gamma \geq 1/3$) получаем $\omega_{col}/\omega_p \sim \Gamma^{-1/2}$ (рис. 11), что качественно соответствует результатам МД.

Более точный расчет ω_{col} требует интегрирования уравнений движения электрона внутри

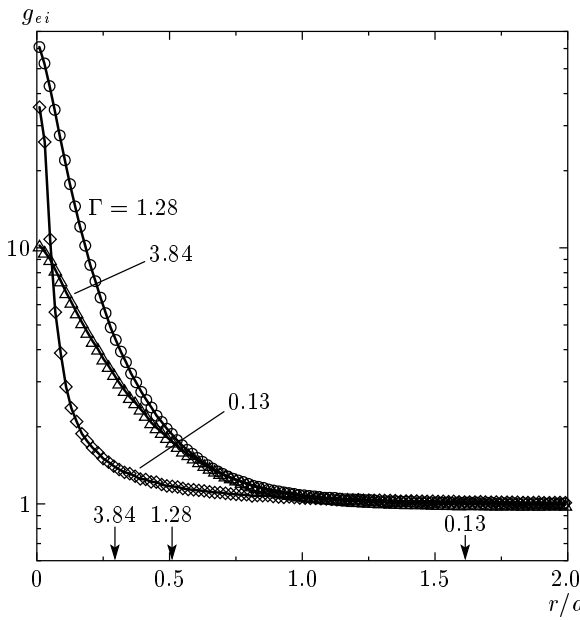


Рис. 12. Бинарные корреляционные функции электрон-ионного распределения; a — среднее межчастичное расстояние. Стрелками показаны значения дебаевской длины r_D для различной степени неидеальности

сферы экранирования под воздействием центрально-симметричного поля иона [34]:

$$\tau_{col} = 2 \int_{r_{min}}^{r_s} \frac{dr}{\sqrt{\frac{2}{m} \left(E - \frac{mv_T^2 r^2}{2\rho^2} - V_{ei}(r) \right)}}, \quad (22)$$

где $E = mv_T^2/2$ — энергия электрона на бесконечности, ρ — прицельный параметр, выбираемый так, чтобы время τ_{col} было максимальным, r_{min} — расстояние максимального сближения электрона и иона. Результат расчета для $\omega_{col} = \tau_{col}^{-1}$ показан на рис. 11 сплошной линией. Хорошее согласие с результатами моделирования подтверждает правильность предложенной интерпретации.

Указанные соображения дают лишь качественное объяснение зависимости $\nu(\omega)$. Более последовательное теоретическое исследование приведено в работе [49].

5. РЕЛАКСАЦИЯ ЭНЕРГИИ В НЕРАВНОВЕСНОЙ ПЛАЗМЕ

5.1. Общая картина релаксации

В большинстве экспериментов сразу после процесса ионизации возникающая плазма является существенно неравновесной. Характер неравновесности зависит от условий эксперимента. В плазме, образованной на фронте ударной волны, температура ионов существенно превышает электронную. Ионизация мишени короткими лазерными импульсами приводит, наоборот, к разогреву электронной компоненты при относительно холодных ионах. Имеющиеся экспериментальные данные говорят о том, что теория идеальной плазмы перестает работать уже при значениях параметра неидеальности $\Gamma \approx 0.2$ ($N_D \approx 2$).

В настоящей работе рассмотрена релаксация энергии в плазме для нескольких типов начальной неравновесности, при которых одна или обе подсистемы находятся при нулевой температуре. Это соответствует трем предельным случаям: $T_e \ll T_i$ (плазма за фронтом ударной волны), $T_e \gg T_i$ (лазерный нагрев плазмы) и $T_e = T_i = 0$ (методический пример). В случае $T_e \gg T_i$ рассматриваются два варианта начального пространственного распределения ионов: кристаллическая решетка и распределение, взятое из равновесной МД-траектории.

Для создания ансамбля неравновесных состояний используется процедура, описанная в работе [37]. На первом этапе рассчитывается достаточно длинная равновесная МД-траектория. На полученной траектории выбирается $I = 50\text{--}200$ статистически независимых состояний, в каждом из которых равновесие затем нарушается путем принудительной остановки электронов, ионов или всех частиц. При использовании кристаллической решетки равновесная траектория рассчитывается с неподвижными ионами.

Характер протекания релаксации проиллюстрируем для случая, когда в начальный момент остановлены и электроны, и ионы (рис. 13). Этот пример подчеркивает, что, в отличие от идеальной, в неидеальной плазме к столкновительной релаксации добавляется процесс установления равновесия между средней кинетической энергией $T = (T_e + T_i)/2$ (кривая 2) электронов и ионов и потенциальной энергией взаимодействия U . Полная энергия сохраняется в процессе расчета, $2T + U = \text{const}$. При этом на начальном этапе процесс может носить колебательный характер. В идеальной плазме $U = 0$.

На первом участке происходит резкий нагрев

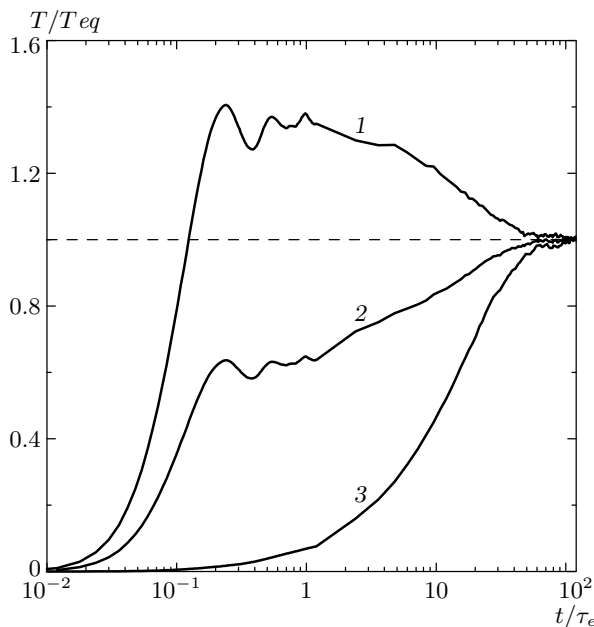


Рис. 13. Релаксация кинетической энергии электронов T_e (1), ионов T_i (3) и средней кинетической энергии T (2) к равновесной T_{eq} ; $\Gamma = 3.3$, $M/m = 100$

электронов (рис. 13) и их максвеллизация, т. е. установление равновесного распределения по энергиям с температурой, равной двум третям средней кинетической (рис. 14). Например, для отношения масс $M/m = 100$, $\Gamma = 3.3$ ($N_D = 0.03$) распределение по скоростям принимает вид максвелловского с температурой, соответствующей средней кинетической энергии частиц, для электронов за время порядка τ_e (рис. 14а), для ионов — за $15\tau_e$. После этого имеет место электрон-ионная релаксация в двухтемпературной системе. Этот процесс проходит на фоне продолжающейся перекачки потенциальной энергии в кинетическую, поскольку последняя продолжает расти (кривая 2 на рис. 13). Заметим, что при этом на хвосте распределения ионов по скоростям ($E > 2k_B T$) сохраняется небольшое превышение над распределением Максвелла.

Таким образом, можно выделить два характерных времени — время τ_{nB} начальной неэкспоненциальной релаксации разности кинетических энергий электронов и ионов $\Delta T = |T_e - T_i|$ и время τ_B , характеризующее последующий экспоненциальный спад разности температур $\Delta T \propto \exp(-t/\tau_B)$. Затухание по экспоненциальному закону разности ΔT начинается раньше, чем устанавливается максвелловское распределение для ионов. Например, на рис. 13 это

происходит на временах $t \approx 5\tau_e$.

Другие примеры зависимостей энергий электронов и ионов от времени рассмотрены в работах [37, 51]. Здесь мы остановимся на характерных временах релаксации τ_{nB} и τ_B , соответственно, неэкспоненциальной и экспоненциальной стадий, зависимости которых от Γ не были рассмотрены в работах [37, 51].

5.2. Длительность неэкспоненциальной релаксации

На рис. 15 показана зависимость длительности неэкспоненциального участка τ_{nB} от параметра неидеальности для трех типов начальных условий: $T_i(0) = 0$, $T_e(0) = 0$ и $T_e(0) = T_i(0) = 0$. Времена τ_{nB} во всех трех случаях оказались хотя и различными, но достаточно близкими — разброс не превысил одного порядка величины. Независимо от начальных условий время τ_{nB} возрастает с увеличением Γ .

Для того чтобы пояснить физический смысл времени τ_{nB} , вспомним уравнение, описывающее релаксацию разности температур электронов и ионов в идеальной плазме, приведенное, например, в статье [25]:

$$\frac{d\Delta T}{dt} = -\nu_{ei}^\varepsilon \Delta T. \quad (23)$$

Здесь характерное время релаксации $\tau_{ei} = (\nu_{ei}^\varepsilon)^{-1}$ определяется электрон-ионными столкновениями

$$\tau_{ei} = \frac{3}{8} \frac{(mT_i + MT_e)}{\sqrt{2\pi mM}} \frac{1}{Z(Z+1)e^4 n_e L_e}. \quad (24)$$

Решение уравнения (23) не может описать начальную неэкспоненциальную релаксацию. Поскольку (23) получено из решения кинетического уравнения, базирующегося на предположении о стохастичности системы и статистической независимости отдельных столкновений частиц, можно предположить, что оно справедливо только на временах $t > t_{me}$, где t_{me} — время динамической памяти для электронов [38]. Как видно на рис. 15, длительность неэкспоненциального участка действительно во всех случаях оказывается одного порядка с временем динамической памяти t_{me} . Время t_m характеризует время, в течение которого динамическая траектория частиц «забывает» начальные условия, другими словами, t_m — это время, которое ограничивает справедливость решения задачи Коши для метода МД [38, 52]. Поэтому можно сделать вывод, что неэкспоненциальная стадия соответствует динамическому режиму релаксации, а последующая экспоненциальная — стохастическому. Не обнаружено

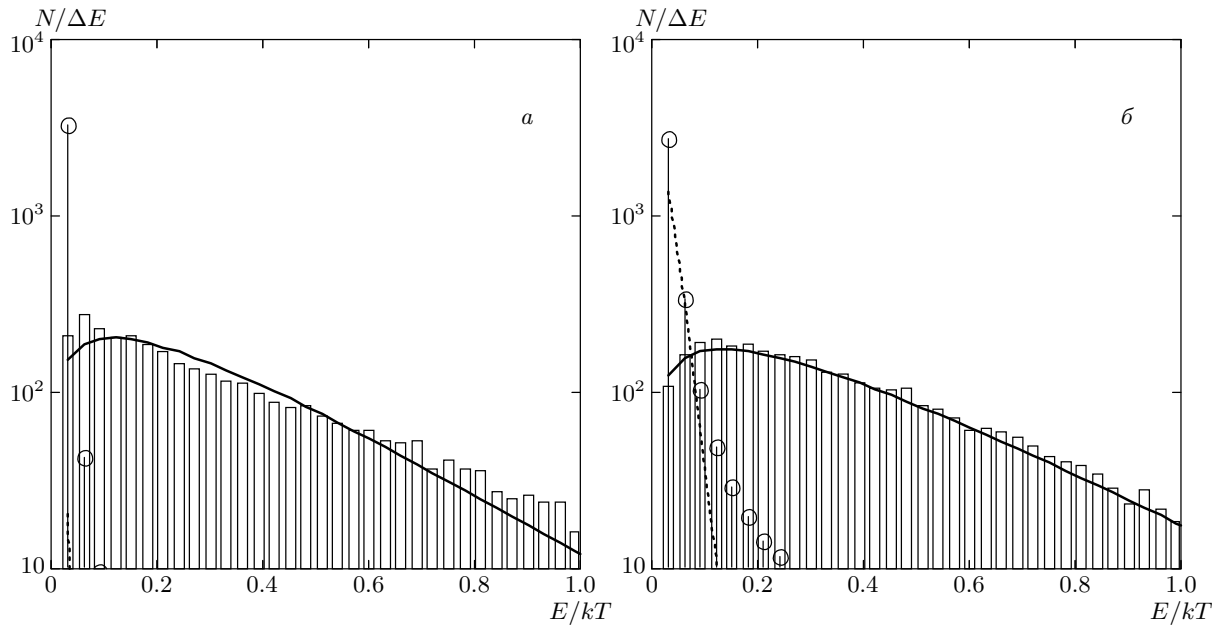


Рис. 14. Распределение электронов (столбцы) и ионов (кружки) по энергиям в различные моменты релаксации $t = 0.15\tau_e$ (а), $0.58\tau_e$ (б). Сплошные (штриховые) кривые соответствуют максвелловскому распределению для электронов (ионов) при температуре, соответствующей средней кинетической энергии электронов (ионов).

$$T_e(0) = T_i(0) = 0, \Gamma = 3.3, M/m = 100$$

существенной зависимости времен τ_{nB} и t_m от M при $M/m > 100$. Неэкспоненциальная стадия релаксации становится несущественной в идеальной плазме при $\Gamma \rightarrow 0$.

5.3. Характерное время экспоненциальной релаксации

Рассмотрим теперь время τ_B . Зависимость τ_B от M/m отличается от линейной, как это было бы в случае идеальной плазмы, но может быть аппроксимирована степенной функцией $\tau_B \propto (M/m)^\alpha$ (рис. 16). Величины τ_B и α практически не зависят от типа начальной неравновесности. В пределе идеальной плазмы $\Gamma \rightarrow 0$ показатель $\alpha(\Gamma)$ стремится к теоретическому значению $\alpha = 1$, а в неидеальной плазме может быть аппроксимирован выражением

$$\alpha = 1 - 0.15\Gamma + 0.035\Gamma^2, \quad \Gamma < 4. \quad (25)$$

Минимальное значение $\alpha = 0.84$ достигается при $\Gamma = 2.1$. Условно можно говорить об эффективной массе электронов в неидеальной плазме.

Для изучения зависимости τ_B от Γ удобно разделить переменные:

$$\tau_B(\Gamma, M) = \tau_B^1(\Gamma) \left(\frac{M}{m} \right)^{\alpha(\Gamma)}. \quad (26)$$

Зависимость $\tau_B^1(\Gamma)$ представлена на вставке рис. 16. С помощью формулы (26) можно экстраполировать результаты для времени релаксации τ_B на любые значения M/m . Ошибка определения α не превышает 5 %, что дает, например, для алюминия ошибку определения τ_B порядка 40 %. Этого достаточно для оценки времени релаксации по порядку величины.

Как видно на рис. 16, нижняя пунктирная линия (экстраполяция теории идеальной плазмы [25] с фиксированным кулоновским логарифмом) может на несколько порядков превышать скорость релаксации энергии в неидеальной плазме при больших Γ . Это согласуется с результатами экспериментов по релаксации в ударно-скатом алюминии и кремнии [4, 6]. Количественное сравнение затруднено из-за роли вырождения в условиях, рассмотренных в работах [4, 6].

Результаты для скорости релаксации энергии можно сопоставить с результатами для скорости релаксации импульса. Для идеальной плазмы характерные времена релаксации энергии, τ_B^{id} , и импульса, ν^{-1} , связаны простым соотношением [9, 25] (в приведенных единицах)

$$\tau_B^{id} = \frac{M}{m} \frac{3\Gamma^{-3/2}}{8\sqrt{6\pi}L_e} = \frac{M}{m} \frac{1}{\sqrt{8\pi}} \nu^{-1}. \quad (27)$$

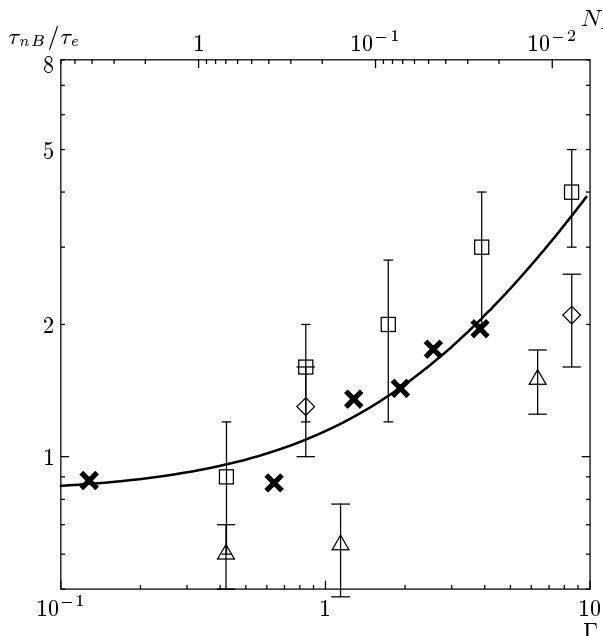


Рис. 15. Зависимости длительности неэкспоненциальной релаксации от параметра неидеальности при начальных условиях: $T_i(0) = 0$ — квадраты, $T_e(0) = 0$ — ромбы, $T_e(0) = T_i(0) = 0$ — треугольники. Крестиками отмечено время динамической памяти t_{me} для равновесной плазмы, кривая — линейная аппроксимация для t_{me} . $M/m = 100$

В случае неидеальной плазмы, как следует из МД-расчетов, соотношение (27) уже не выполняется,

$$\tau_B^1 > \tau_B^* = \frac{1}{\sqrt{8\pi}} \nu^{-1}(0), \quad (28)$$

где $\nu(0)$ — эффективная частота столкновений, найденная в п. 4. Величины τ_B^1 и τ_B^* в исследованной области параметра неидеальности различаются в 2–3 раза.

Таким образом, переход к неидеальной плазме приводит к появлению целого набора эффективных времен релаксации как в равновесном, так и в неравновесном случаях.

6. ЗАКЛЮЧЕНИЕ

Проведено МД-моделирование равновесной и неравновесной сильноионизированной невырожденной неидеальной плазмы в диапазоне параметра неидеальности $0.1 < \Gamma < 4$ ($4 > N_D > 0.03$) с использованием псевдопотенциальной модели Кельбга. Анализ найденных данных позволил получить следующие результаты.

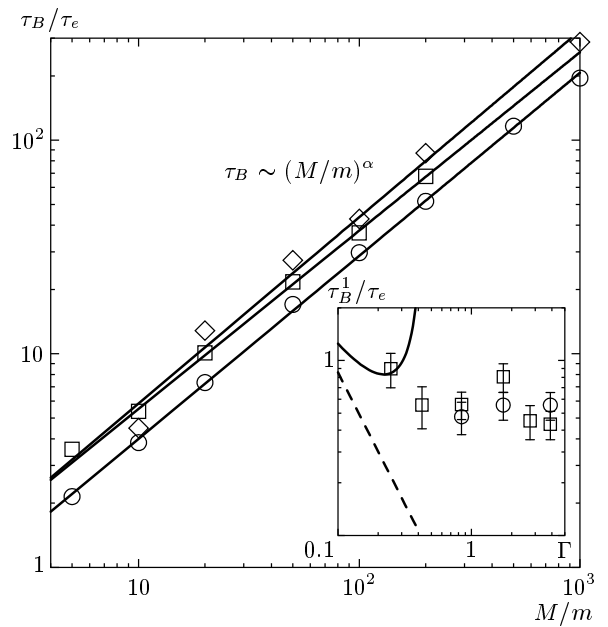


Рис. 16. Зависимости характерного времени экспоненциальной релаксации от массы ионов для $\Gamma = 3.3$ при начальных условиях: $T_e(0) = 0$ — ромбы, $T_i(0) = 0$ — квадраты, $T_i(0) = 0$, кристалл — кружки. Линиями показаны степенные аппроксимации. На вставке: зависимости от параметра неидеальности; сплошная кривая — теория Ландау, пунктирная — то же с фиксированным кулоновским логарифмом ($L_e = 3.2$)

Показано, что максимум динамического структурного фактора, соответствующий ленгмюровским плазменным волнам, существует во всем исследованном диапазоне параметра неидеальности. Определены дисперсия частоты и декремента затухания ленгмюровских волн. Обнаружено, что декремент затухания проходит через максимум при $\Gamma \approx 2$ ($N_D \approx 0.07$), оставаясь при этом в четыре раза меньше плазменной частоты. Таким образом, экстраполяция выражений, полученных для столкновительного затухания в теории идеальной плазмы, в область $\Gamma > 0.1$ ($N_D < 10$) с фиксированным L_e оказывается несправедливой. В то же время не выявлено существенных различий в описании затухания Ландау между идеальной и неидеальной плазмой в исследованной области параметров.

Показано, что выражение (5) для диэлектрической проницаемости [22] идеальной плазмы с модифицированной частотой столкновений может применяться для описания плазменных волн в неидеальной плазме до $\Gamma < 3$ ($N_D > 0.04$). Отмечено, что отрицательная дисперсия максимума динамиче-

ского структурного фактора по частоте обусловлена смещением нуля диэлектрической проницаемости в минимуму область вследствие столкновительного затухания в неидеальной плазме. МД-результаты для $\Gamma > 3$ пока не получили теоретического описания.

Показано, что в неидеальной плазме, в отличие от идеальной, столкновения частиц не удается описать единственной эффективной частотой столкновений в рамках использованной теоретической модели. В частности, для равновесной плазмы найдены статическая ($\omega = 0$) частота столкновений и частота столкновений для возмущающего поля с $\omega = \omega_p$. Последняя определена двумя независимыми способами: из декремента затухания плазменных волн при малых k и из автокорреляционной функции токов. Согласие результатов между собой говорит о достоверности развиваемого подхода. Найдены зависимости частоты столкновений от ω для различных параметров неидеальности, и дано их качественное объяснение. Результаты для статической частоты столкновений согласуются с теорией идеальной плазмы при $\Gamma < 0.3$ ($N_D > 1.2$) и с асимптотическими оценками [14] при $\Gamma > 2$ ($N_D < 0.07$), а в переходной области $\Gamma \lesssim 2$ — с теоретическими расчетами [50].

Расчеты для модельных ионов малой массы показали, что найденные значения частот столкновений перестают зависеть от отношения масс ионов и электронов M/m при $M/m > 10^2$. Таким образом, найденные частоты столкновений и дисперсии ленгмюровских волн справедливы для любых реальных значений M/m . Рассчитана статическая проводимость неидеальной плазмы в области $4 > N_D > 0.03$. Проведено сопоставление с экспериментальными данными и другими теоретическими подходами.

Исследована релаксация энергии электронов и ионов для трех типов начальной неравновесности в неидеальной плазме ($T_e \ll T_i$, $T_e \gg T_i$, $T_e = T_i = 0$). Показано, что на протяжении всего процесса релаксации происходит установление равновесия между суммарной кинетической энергией электронов и ионов и энергией их взаимодействия друг с другом (в идеальной плазме этот процесс отсутствует). Установлено и другое отличие от идеальной плазмы — существование начального этапа релаксации, на котором разница кинетических энергий $\Delta T = |T_e - T_i|$ немонотонно зависит от времени. Эта зависимость не описывается кинетическим уравнением с эффективной частотой столкновений. Длительность τ_{nB} этого этапа коррелирует с величиной времени динамической памяти t_m для электронов — времени, в течение которого траектории электронов «забывают» свои начальные условия, т. е.

стохастизируются. Для времен $t > \tau_{nB}$ величина ΔT уменьшается по экспоненциальному закону $\Delta T \propto \exp(-t/\tau_B)$, что свидетельствует о стохастическом характере этого этапа релаксации. Получены значения τ_B , предложена интерполяционная формула (26), позволяющая рассчитать время экспоненциальной релаксации для неидеальной плазмы с ионами произвольной массы. В отличие от идеальной плазмы зависимость $\tau_B(M) \sim (M/m)^{\alpha(\Gamma)}$ несколько отличается от линейной. Определен показатель $\alpha(\Gamma)$. Сомножитель $\tau_B^1(\Gamma)$, не зависящий от M/m , коррелирует с частотой столкновений в равновесной плазме ν , однако связь τ_B^1 и ν отличается от той, которая имеет место в идеальной плазме.

Анализ результатов МД для частот столкновений и времени релаксации говорит о том, что времена релаксации импульса и энергии в неидеальной плазме на несколько порядков превышают экстраполяционные оценки по теории Ландау. В случае релаксации импульса это непосредственно влияет на микроскопические свойства среды, такие как проводимость, диэлектрическая проницаемость, коэффициент отражения. Относительно большое время релаксации говорит о том, что эффекты, связанные с неравновесностью, такие, например, как надтепловое возбуждение плазменных волн [20], могут вносить существенный вклад в результаты измерений.

Благодарим участников семинаров А. С. Кингеспа, А. А. Рухадзе, В. Д. Шафранова за обсуждение и полезные замечания. Работа выполнена при финансовой поддержке по комплексной программе научных исследований Президиума РАН «Теплофизика и механика интенсивных энергетических воздействий», межсекционной программе ОЭММПУ РАН «Информационно-компьютерные модели исследования фундаментальных проблем неравновесных сред», РФФИ (грант № 03-07-90272в). Расчеты проводились на вычислительном кластере, полученном по гранту Немецкой службы академических обменов (DAAD). М. И. В. выражает благодарность фонду «Династия» и Международному центру фундаментальной физики в Москве за финансовую поддержку. Выражаем благодарность рецензенту за замечания, которые помогли нам улучшить данную статью.

ЛИТЕРАТУРА

1. Б. Н. Ломакин, В. Е. Фортов, ЖЭТФ **63**, 92 (1972).

2. В. К. Грязнов, М. В. Жерноклетов, В. Н. Зубарев, И. Л. Иосилевский, В. Е. Фортов, ЖЭТФ **78**, 573 (1980).
3. V. B. Mintsev and Yu. B. Zaporoghes, Contrib. Plasma Phys. **29**, 493 (1989).
4. A. Ng, P. Celliers, G. Hu, and A. Forsman, Phys. Rev. E **52**, 4299 (1995).
5. В. К. Грязнов, В. Е. Фортов, М. В. Жерноклетов, Г. В. Симаков, Р. Ф. Трунин, Л. И. Трусов, И. Л. Иосилевский, ЖЭТФ **114**, 1242 (1998).
6. D. Riley, N. C. Woolsey, D. McSherry, I. Weaver, A. Djaoui, and E. Nardi, Phys. Rev. Lett. **84**, 1704 (2000).
7. A. W. DeSilva and J. D. Katsouros, J. de Phys. IV **10** (5), 209 (2000).
8. V. N. Korobenko, A. D. Rakhel, A. I. Savvatimskiy, and V. E. Fortov, Plasma Phys. Rep. **28**, 1008 (2002).
9. Е. М. Лишшиц, Л. П. Питаевский, *Физическая кинетика*, Физматлит, Москва (2001).
10. Л. А. Арцимович, Р. З. Сагдеев, *Физика плазмы для физиков*, Атомиздат, Москва (1979).
11. А. А. Валуев, ТВТ **18**, 422 (1980).
12. Yu. K. Kurilenkov and A. A. Valuev, Beitr. Plasma Physik **24**, 161 (1984).
13. M. A. Berkovsky and Yu. K. Kurilenkov, J. Phys. B **24**, 5043 (1991).
14. А. А. Валуев, А. С. Каклюгин, Г. Э. Норман, ЖЭТФ **114**, 880 (1998).
15. А. А. Валуев, ТВТ **15**, 1143 (1977).
16. J. P. Hansen and I. R. McDonald, Phys. Rev. A **23**, 2041 (1981).
17. А. А. Валуев, И. В. Морозов, Г. Э. Норман, ДАН **362**, 752 (1998).
18. A. Selchow, G. Röpke, A. Wierling, H. Reinholtz, T. Pschiwul, and G. Zwicknagel, Phys. Rev. E **64**, 056410 (2001).
19. V. Golubnychiy, M. Bonitz, D. Kremp, and M. Schlanges, Phys. Rev. A **64**, 016409 (2001).
20. G. E. Norman and A. A. Valuev, in *Strongly Coupled Coulomb Systems*, ed. by G. Kalman, M. Rommel, and K. Blagoev, Plenum Press, New York (1998), p. 103.
21. A. S. Kaklyugin, G. E. Norman, and A. A. Valuev, J. Tech. Phys. **41**, 65 (2000).
22. А. Ф. Александров, Л. С. Богданович, А. А. Рухадзе, *Колебания и волны в плазменных средах*, изд-во МГУ, Москва (1990).
23. Д. Н. Зубарев, В. Г. Морозов, Г. Рёпке, *Статистическая механика неравновесных процессов*, Физматлит, Москва (2002), т. 1.
24. А. С. Кингсп, *Введение в нелинейную физику плазмы*, МФТИ, Москва (1996).
25. Р. Р. Рамазашвили, А. А. Рухадзе, В. П. Силин, ЖЭТФ **43**, 1323 (1962).
26. Л. М. Биберман, Г. Э. Норман, ТВТ **7**, 822 (1969).
27. Г. Э. Норман, Письма в ЖЭТФ **73**, 13 (2001).
28. C. Aman, J. B. C. Pettersson, L. Lindroth, and L. Holmlid, J. Mater. Res. **7**, 100 (1992).
29. L. Holmlid, J. Phys. B: At. Mol. Opt. Phys. **37**, 357 (2004).
30. T. C. Killian, M. J. Lim, S. Kulin, R. Dumke, S. D. Bereson, and S. L. Rolston, Phys. Rev. Lett. **86**, 3759 (2001).
31. F. J. Dyson, J. Math. Phys. **8**, 1538 (1967).
32. Г. Э. Норман, А. Н. Старостин, ТВТ **6**, 410 (1968).
33. Б. В. Зеленер, Г. Э. Норман, В. С. Филинов, *Теория возмущений и псевдопотенциал в статистической термодинамике*, Наука, Москва (1981).
34. A. V. Filinov, M. Bonitz, and W. Ebeling, J. Phys. A **36**, 5957 (2003).
35. C. Deutsch, Phys. Lett. **60A**, 317 (1977).
36. C. Deutsch, M. M. Gombert, and H. Minoo, Phys. Lett. **66A**, 381 (1978); **72A**, 481 (1979).
37. I. V. Morozov and G. E. Norman, J. Phys. A **36**, 6005 (2003).
38. I. V. Morozov, G. E. Norman, and A. A. Valuev, Phys. Rev. E **63**, 36405 (2001).
39. С. И. Андреев, Н. Ф. Ивасенко, *Основы расчета импульсных ксеноновых ламп*, изд-во Томского унив., Томск (1982).
40. H. Reinholtz, I. Morozov, G. Röpke, and Th. Millat, Phys. Rev. E **69**, 066412 (2004).
41. Д. Бом, *Общая теория коллективных переменных*, Мир, Москва (1964).
42. G. E. Norman and A. A. Valuev, Plasma Phys. **21**, 531 (1979).

43. А. А. Валуев, Ю. К. Куриленков, ТВТ **21**, 591 (1983).
44. Yu. K. Kurilenkov and A. A. Valuev, Beitr. Plasma Physik **24**, 529 (1984).
45. H. Reinholtz, R. Redmer, G. Röpke, and A. Wierling, Phys. Rev. E **62**, 5648 (2000).
46. A. Esser, R. Redmer, and G. Röpke, Contrib. Plasma Phys. **43**, 33 (2003).
47. И. Я. Дильтер, В. А. Зейгарник, ДАН СССР **227**, 656 (1976).
48. Е. М. Апфельбаум, М. Ф. Иванов, Физика плазмы **27**, 79 (2001).
49. M. A. Berkovsky, D. Djordjevic, Yu. K. Kurilenkov, and H. M. Milchberg, J. Phys. B **24**, 5043 (1991).
50. M. Schlanger, Th. Bornath, D. Kremp, and P. Hilse, Contrib. Plasma Phys. **43**, 360 (2003).
51. I. V. Morozov, G. E. Norman, A. A. Valuev, and I. A. Valuev, J. Phys. A **36**, 8723 (2003).
52. Г. Э. Норман, В. В. Стегайлов, ЖЭТФ **119**, 1011 (2001).